

Международная конференция в честь столетия со дня рождения
профессора Владимира Витальевича Лонгинова
«Литодинамика донной контактной зоны океана»

Москва 14-17 сентября 2009 г.

Перспективы радиометрического датирования как базового инструмента морской литодинамики современных морских осадков

Лаптев Геннадий и Войцехович Олег

Отдел радиационного мониторинга

Украинский научно-исследовательский
гидрометеорологический институт

www.uhmi.org.ua



УкрНИГМИ

- 1855 – Киевская метеорологическая обсерватория
- 1952 – образование института
- 1987 – образование лаборатории после аварии на ЧАЭС
- 1995 – сотрудничество с МАГАТЭ
- 2005 – присоединение к сети IAEA ALMERA Network, проект TC UKR 9/023 Development of Radiation Monitoring System in Ukraine

Подразделения

- МЧС
- НАНУ
- Севастопольское отделение (СоГОИН)

Технические средства измерения



- HPGe Детекторы (GEM, GWL, GMX, BEGe)
 ^{238}U , ^{235}U , ^{234}Th , ^{226}Ra , ^{210}Pb ,
 ^{228}Ra , ^{137}Cs
- NaI (in-situ)
- TriCarb 2900TR – ^3H , ^{14}C
- RUB01P – Gross Beta, ^{90}Sr
- 2 LSC Triathler (α/β separation)
Gross Alpha, $^{238+234}\text{U}$, ^{226}Ra ,
 ^{222}Rn , ^{210}Po , ^{90}Sr



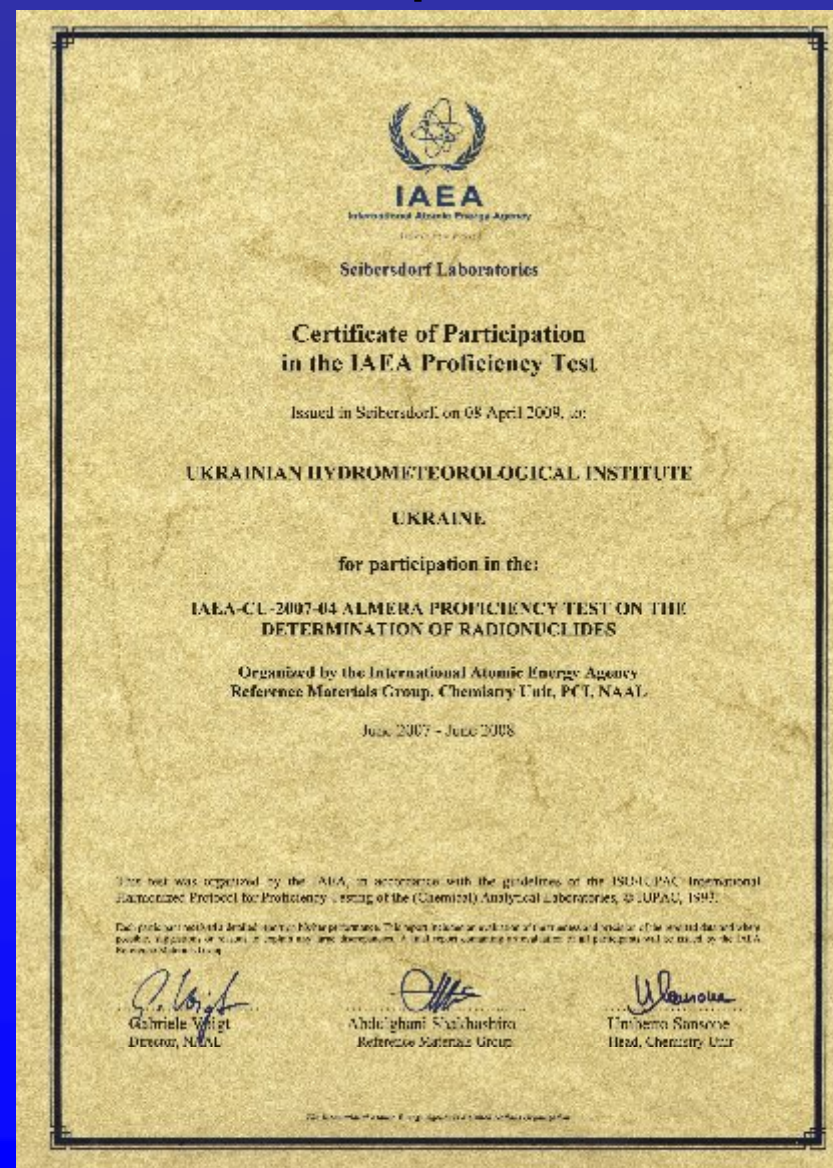


Программа профессионального тестирования

МАГАТЕ в сети ALMERA (с 2006)

гамма – 1-3 дня

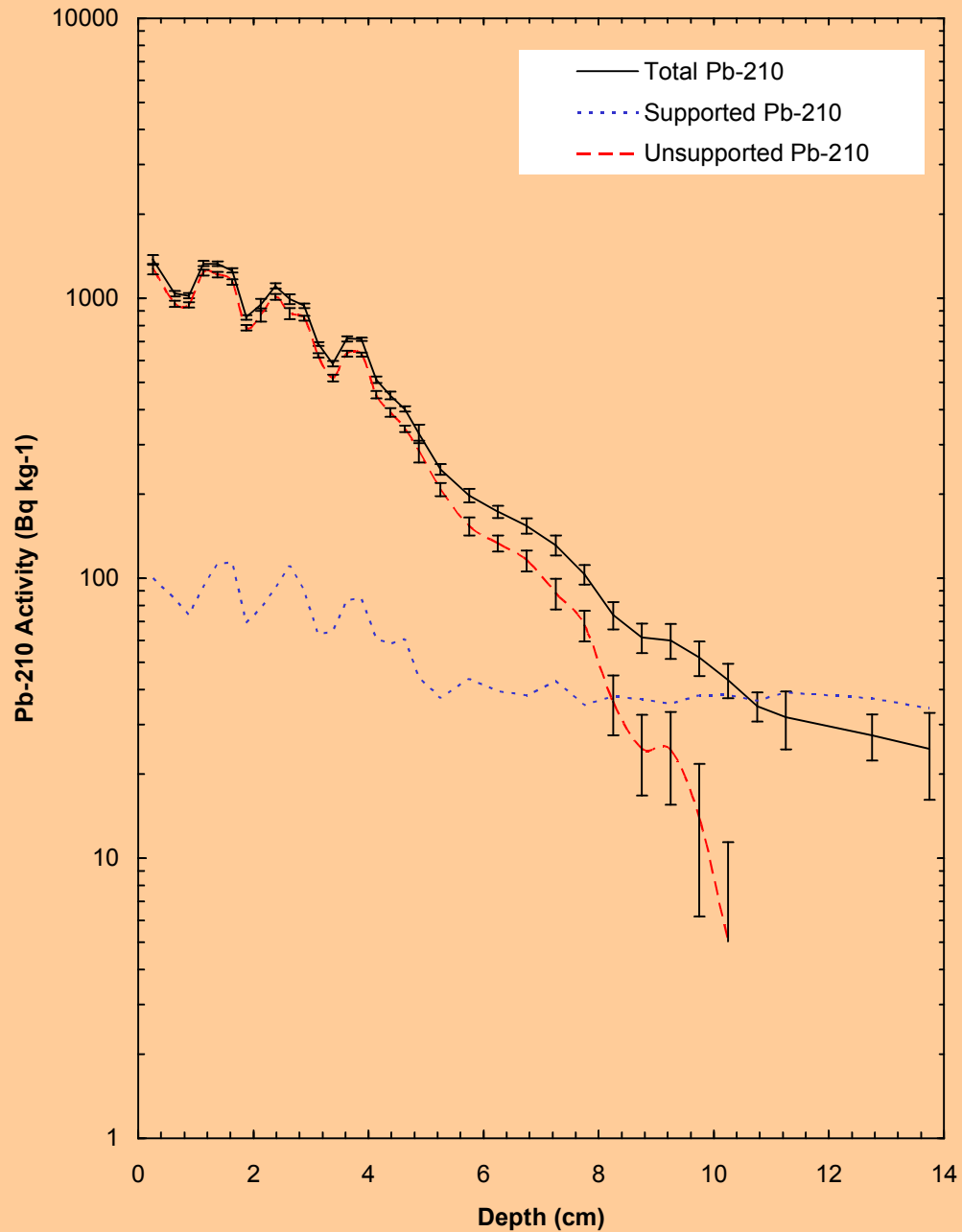
бета/альфа – 1 неделя



Radioisotope Sediment Study

- Sediment cores from abyssal (deep-sea) plain and continental slope collected during two international cruises in the framework of the IAEA Regional Technical Co-operation Project REP/2/003 “Marine Environmental Assessment in the Black Sea Region” (RADEUX-2000) and GEF “Black Sea Environment Recovery Project” (BSERP-2003) were subjected to detailed radiometric analysis.
- The sediment cores were collected using a MARK II-400 multi-corer (Bowers & Connelly) in both Western and Eastern subbasins of the Black Sea. The cores were sliced on board with a resolution of 0.2 – 0.4 cm for the top 5 cm and 1-5 cm downward using an extruder designed to preventing disintegration of the sediment structure.

BLACK SEA CORE 61SU450
Pb-210 Activity versus Depth

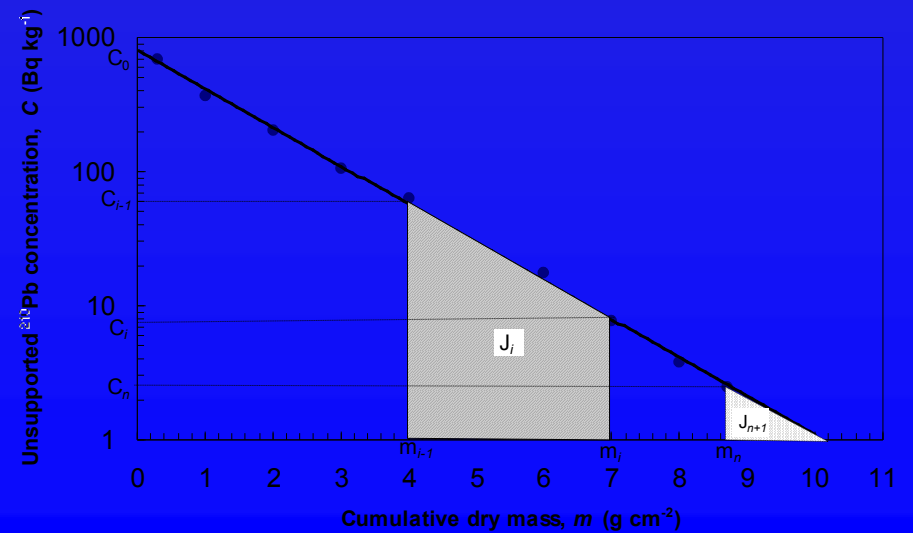


Basic Equations of the CRS ²¹⁰Pb dating model

$$A_x = A(0)e^{-\lambda t},$$

$$t = \frac{1}{\lambda} \ln \left[\frac{A(0)}{A_x} \right].$$

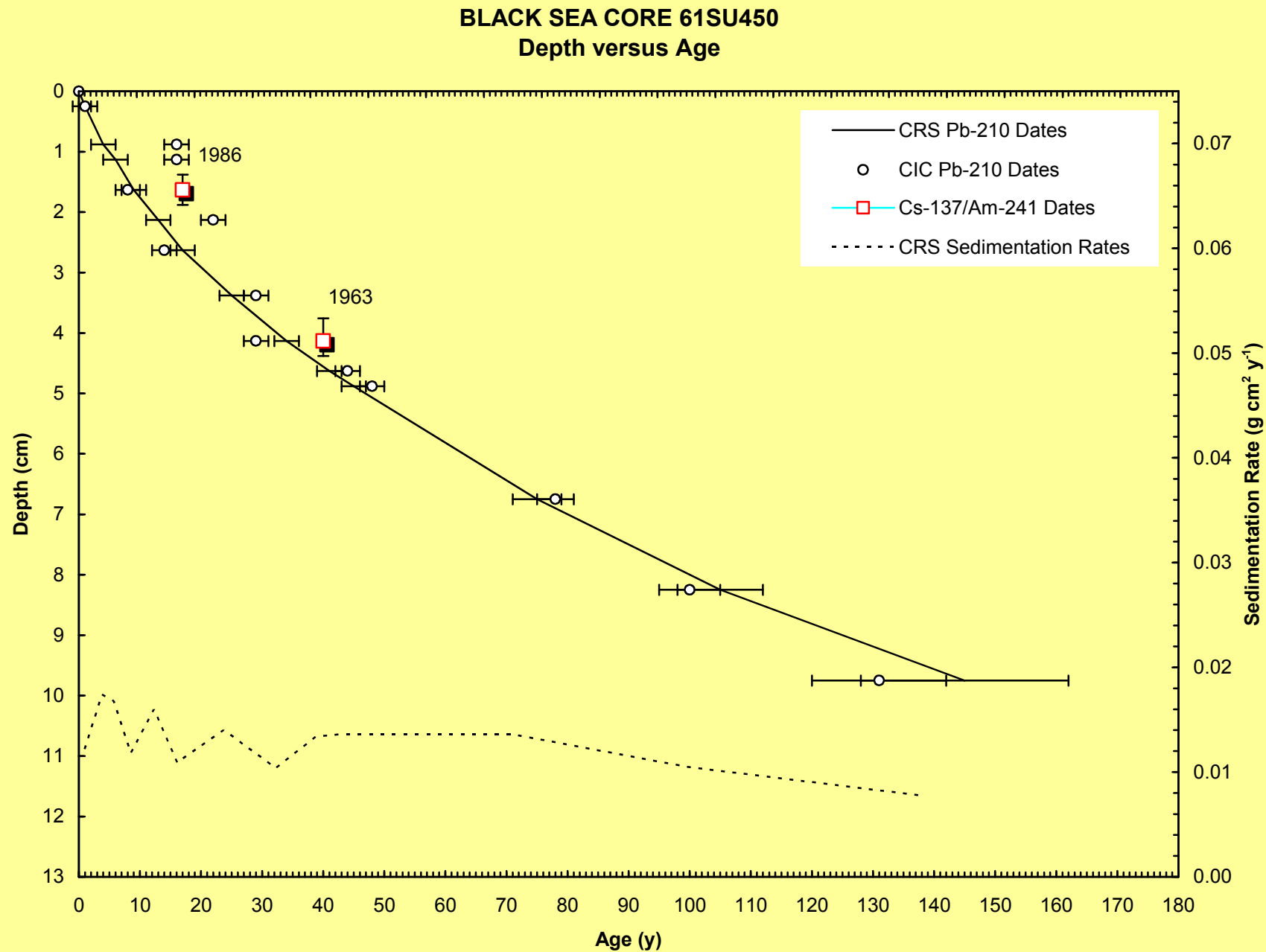
$$r = \frac{\lambda A_x}{C_x}, \quad A(0) = \frac{P}{\lambda}$$



$^{210}\text{Pb}_{\text{nr}}$ Модели датирования

- CIC (Constant Initial Concentration) – *Goldberg, 1963 – Limited to Monotonic Decline of Pb-210 Activity*
- CRS (Constant Rate of Supply) – *Appleby&Oldfield, 1978 – Flux fixed, SedRate may vary*
- SIT (Sediment Isotope Tomography) – *Carroll, 1995 – Fourier Series Analysis, no mixing or migration*
- IMZ (Incomplete Mixing Zone) – *Abril, 1992 – Labile fraction of Radionuclide undergo rapid mixing*

Geochronological Dating Stratigraphy





The Black Sea Expeditions:

- 1998, 2000 – IAEA***
- 2003, 2004 and 2006 - GEF BSERP***

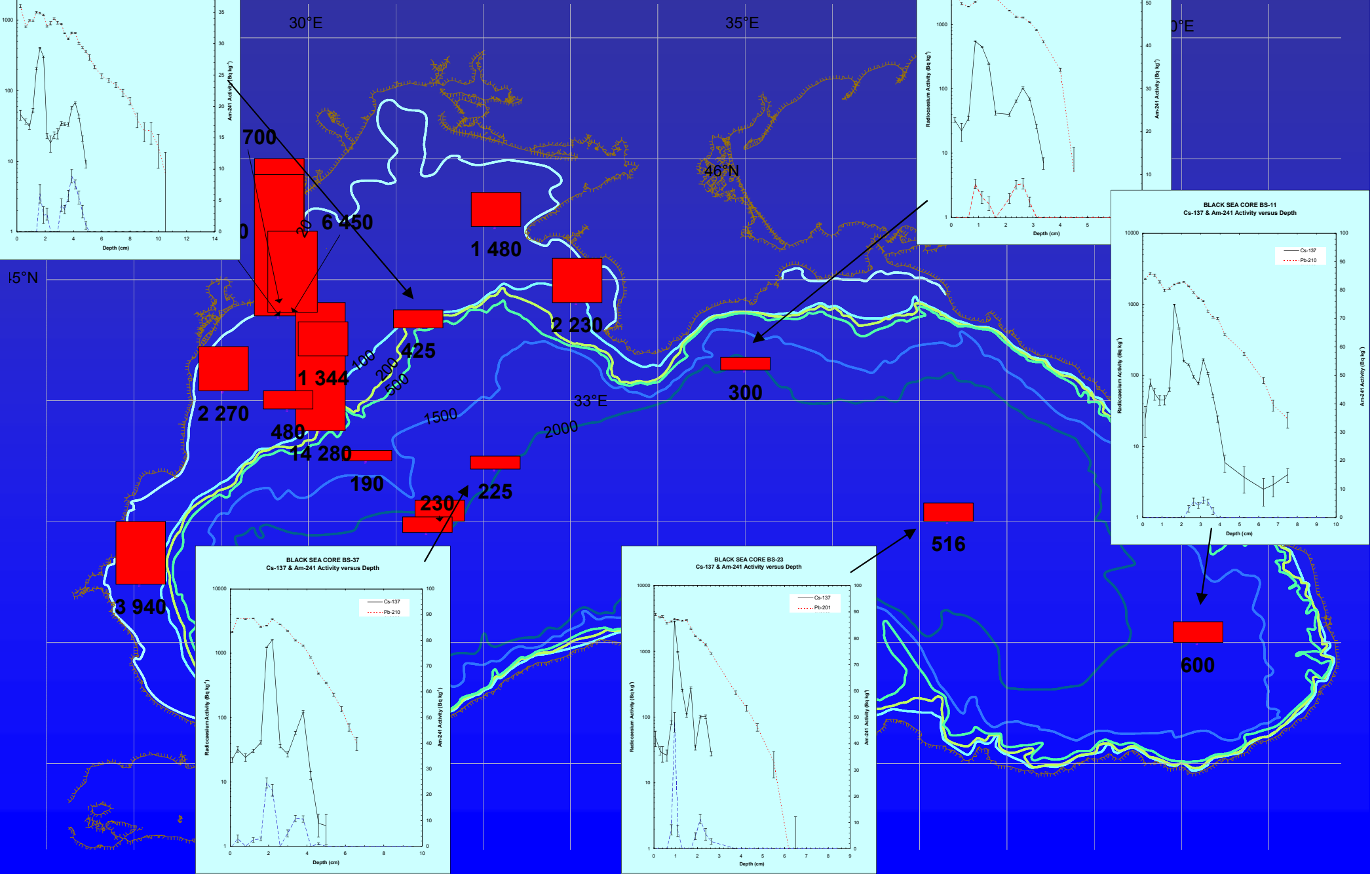
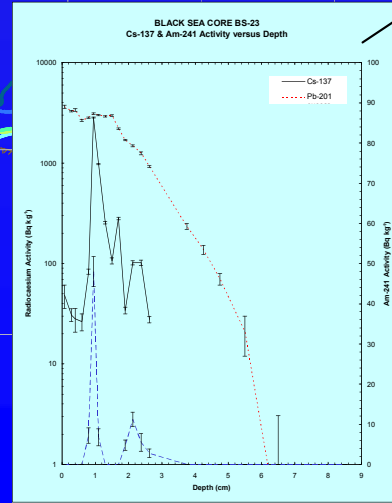
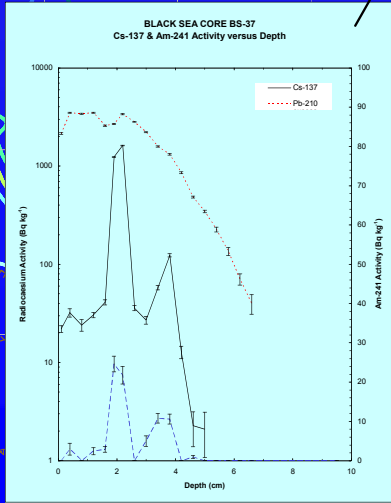
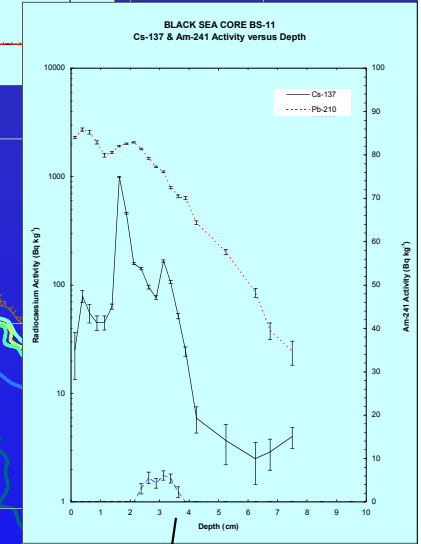
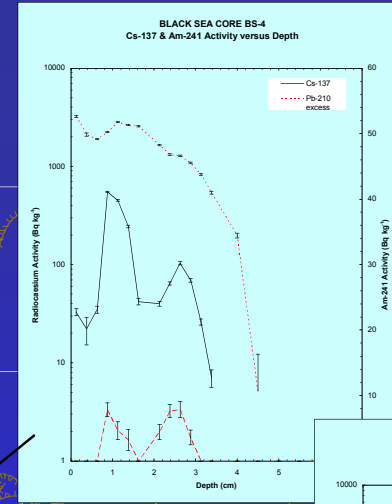
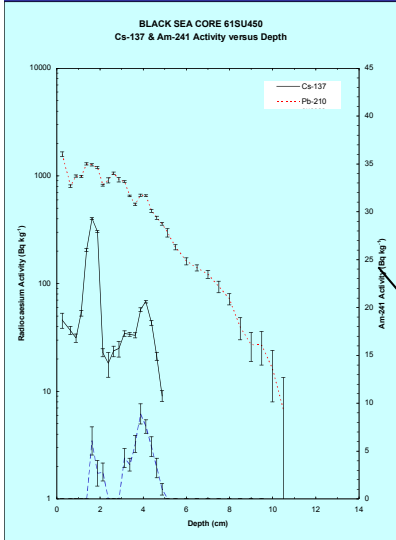
Caspian Sea:

- 2006 IAEA***
- 2008, 2009 - CEP***

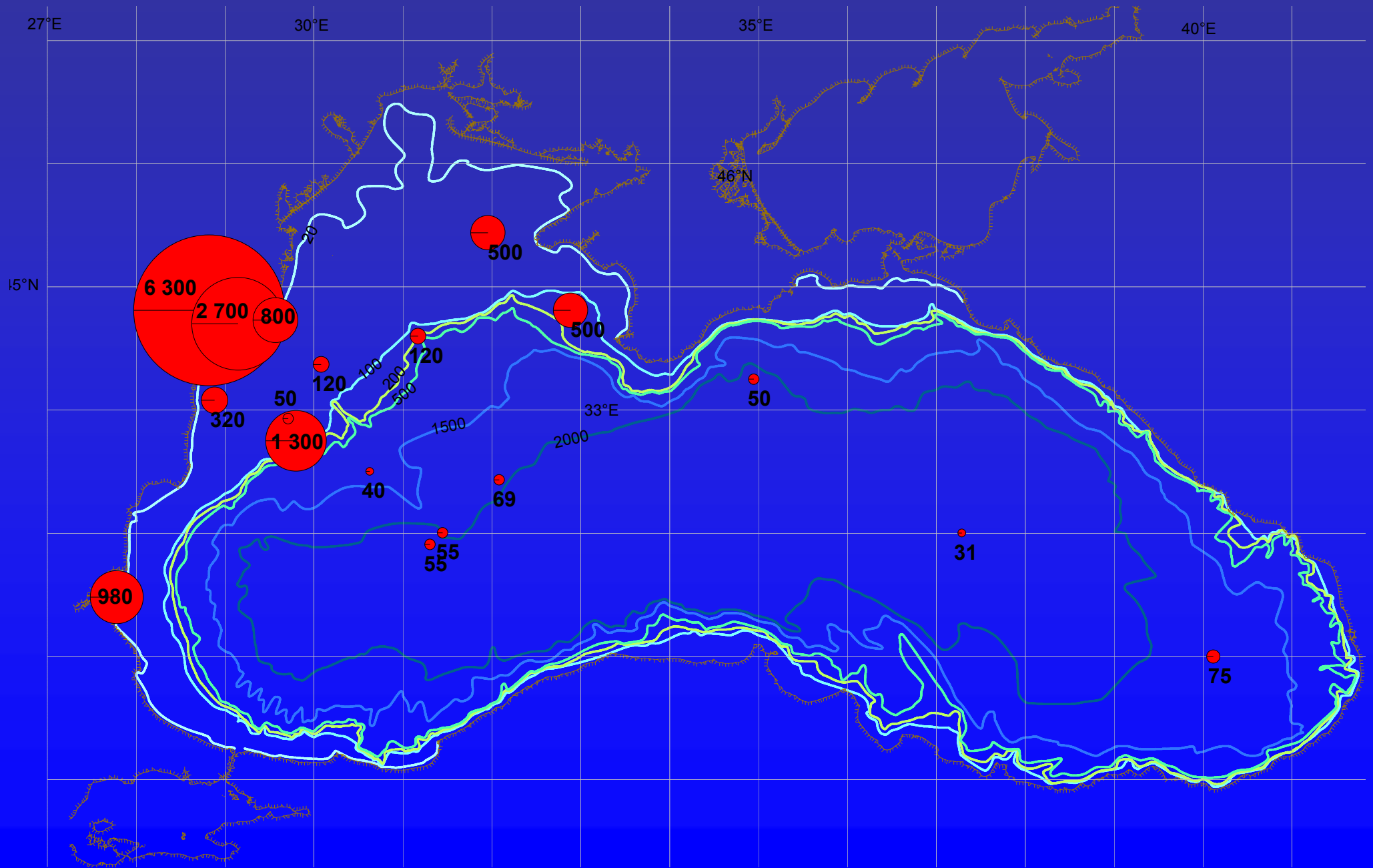


Cesium-137 in Bottom Sediment of the Black Sea,

Bq m⁻²



MAR in Bottom Sediment of the Black Sea, $\text{g m}^{-2} \text{y}^{-1}$



Sediment Core Sampling



Sediment Core Processing



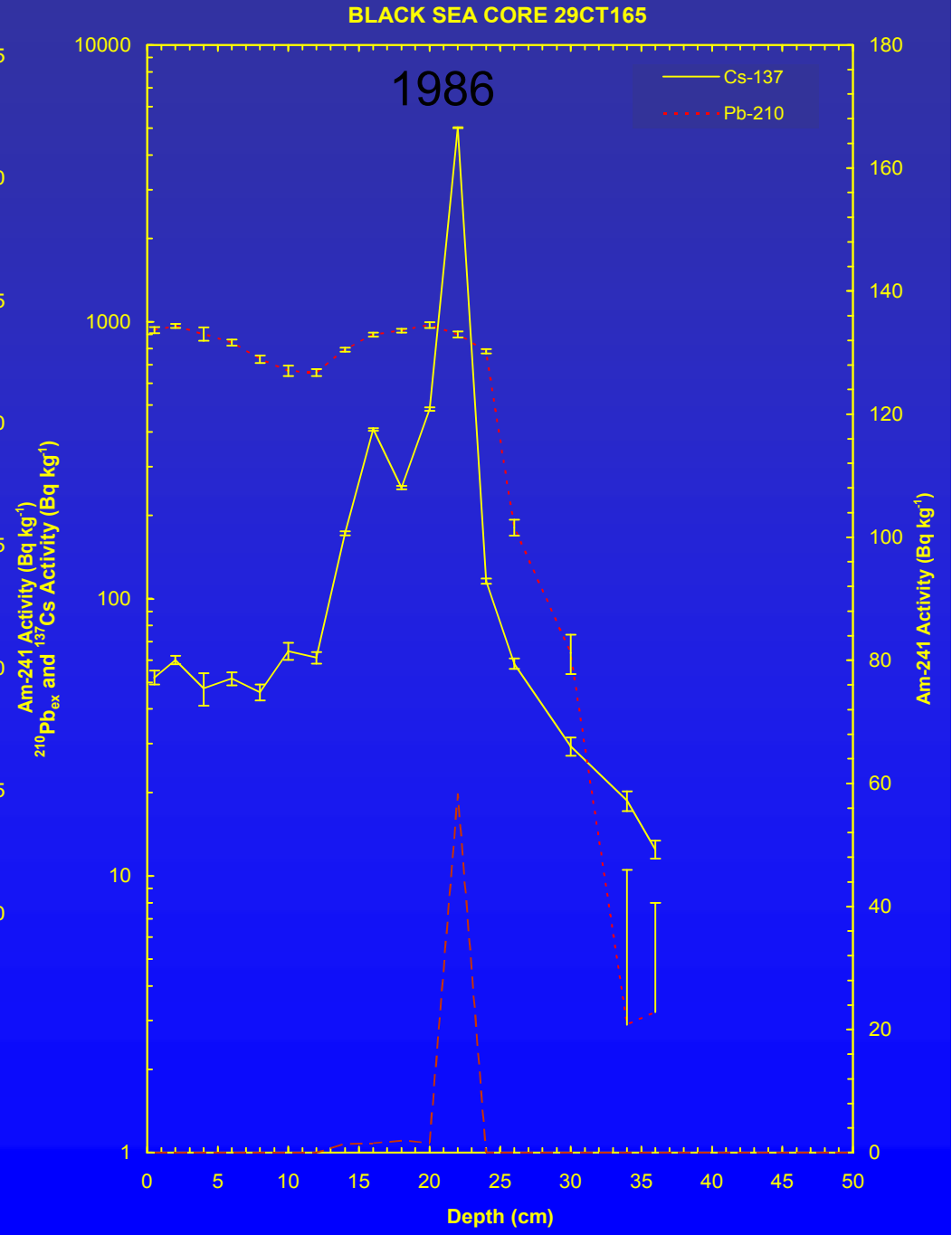
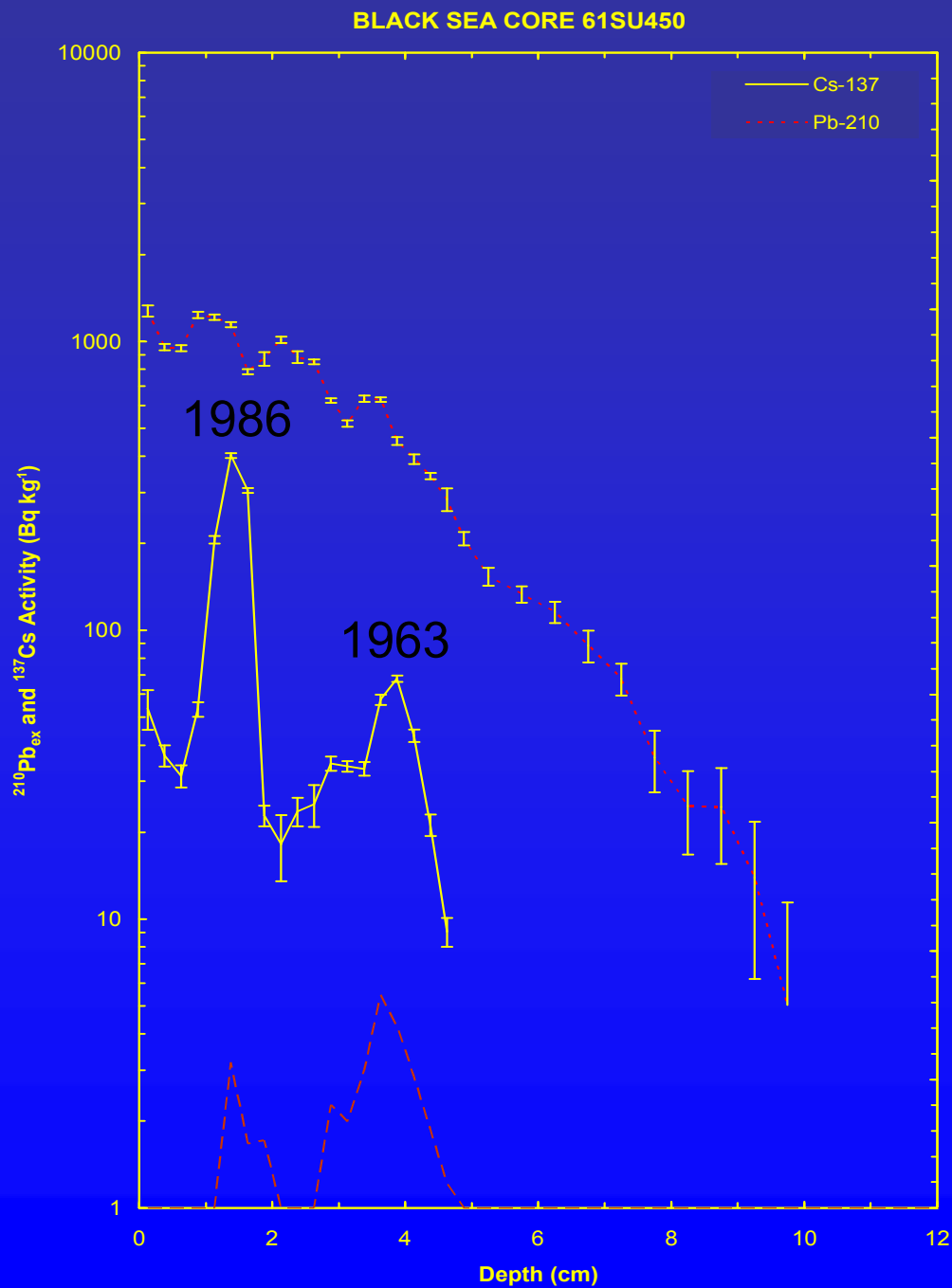
Sediment Core Processing



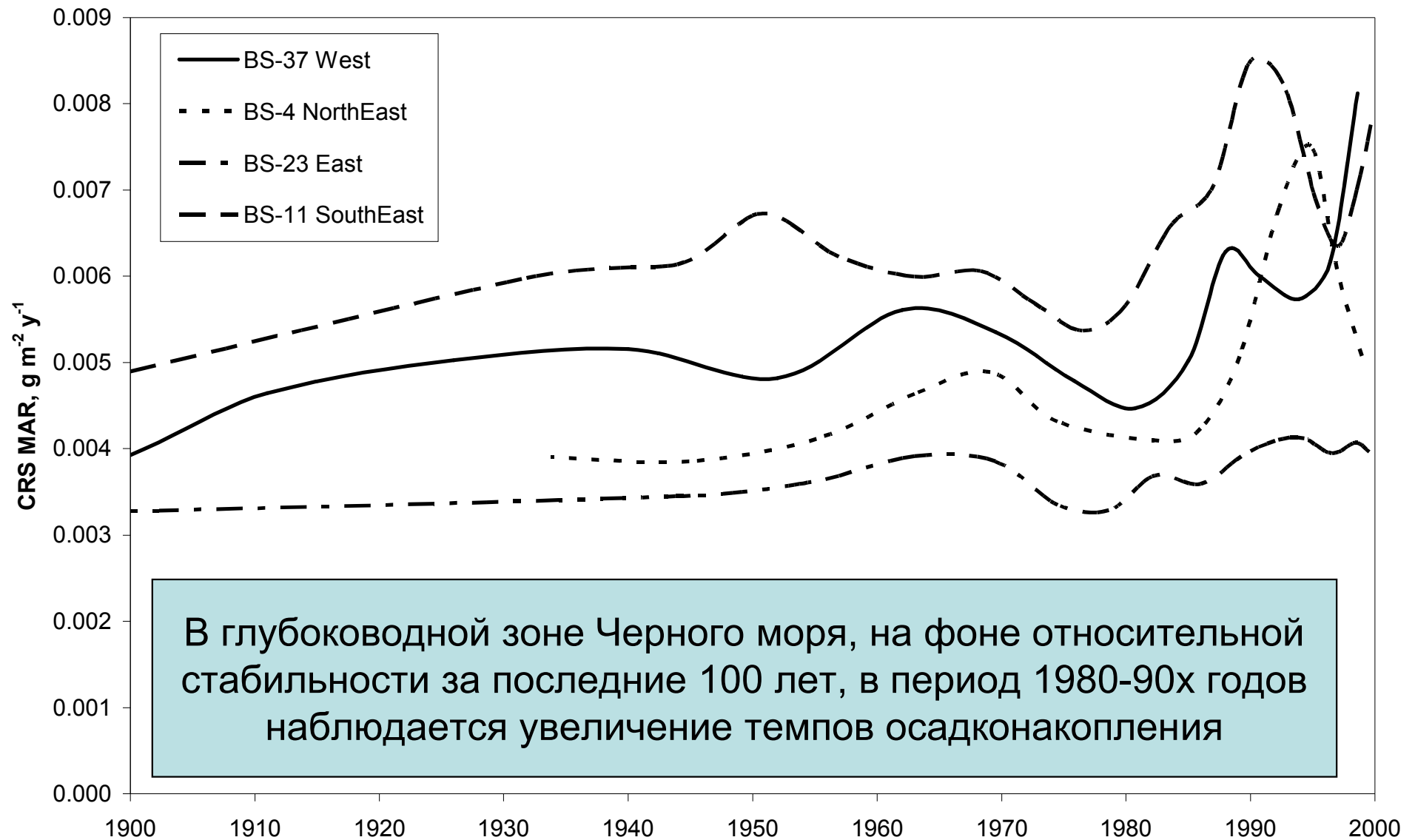
Laminated Sediment



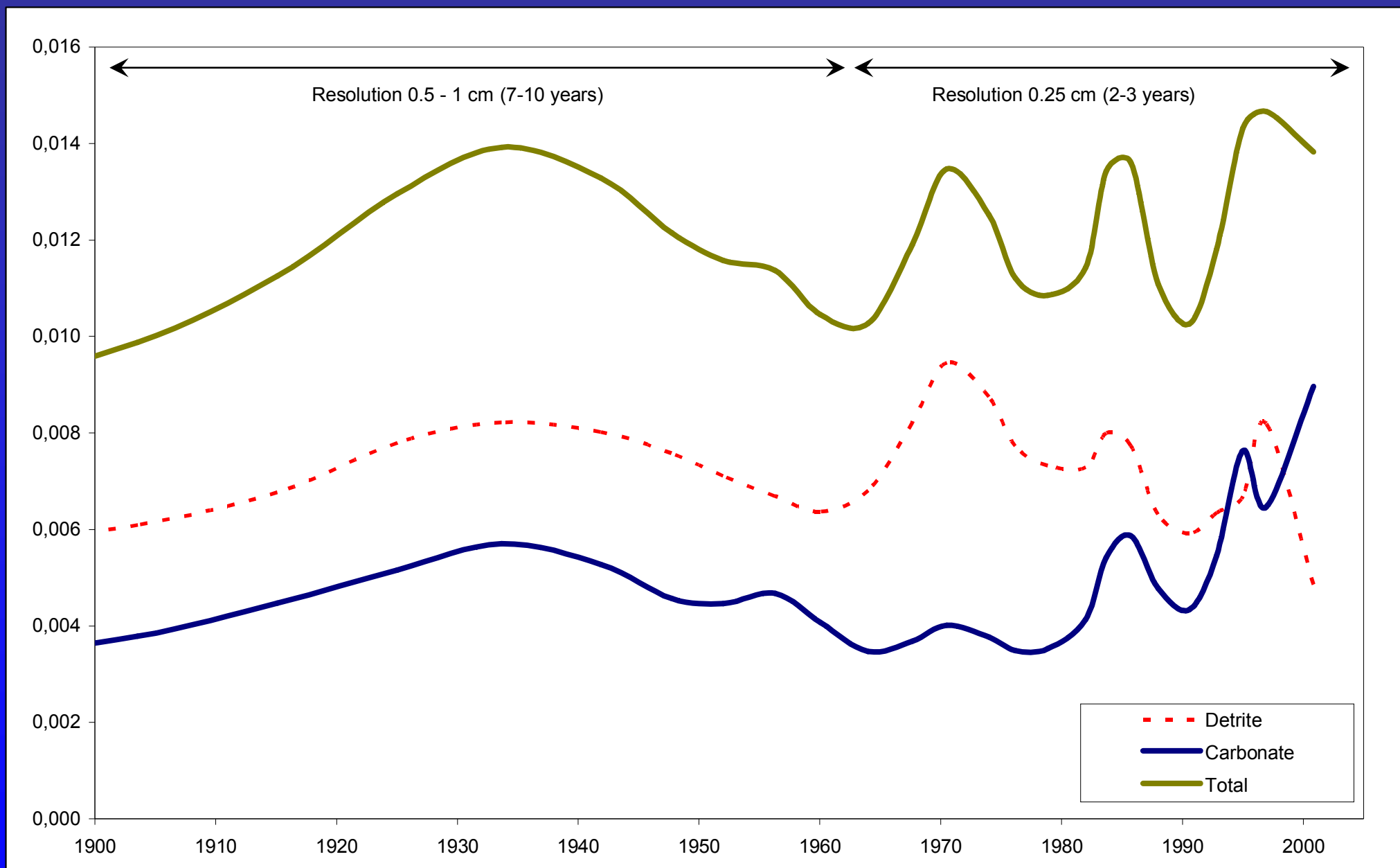
$^{210}\text{Pb}_{\text{ex}}$, ^{137}Cs and ^{241}Am vs Depth



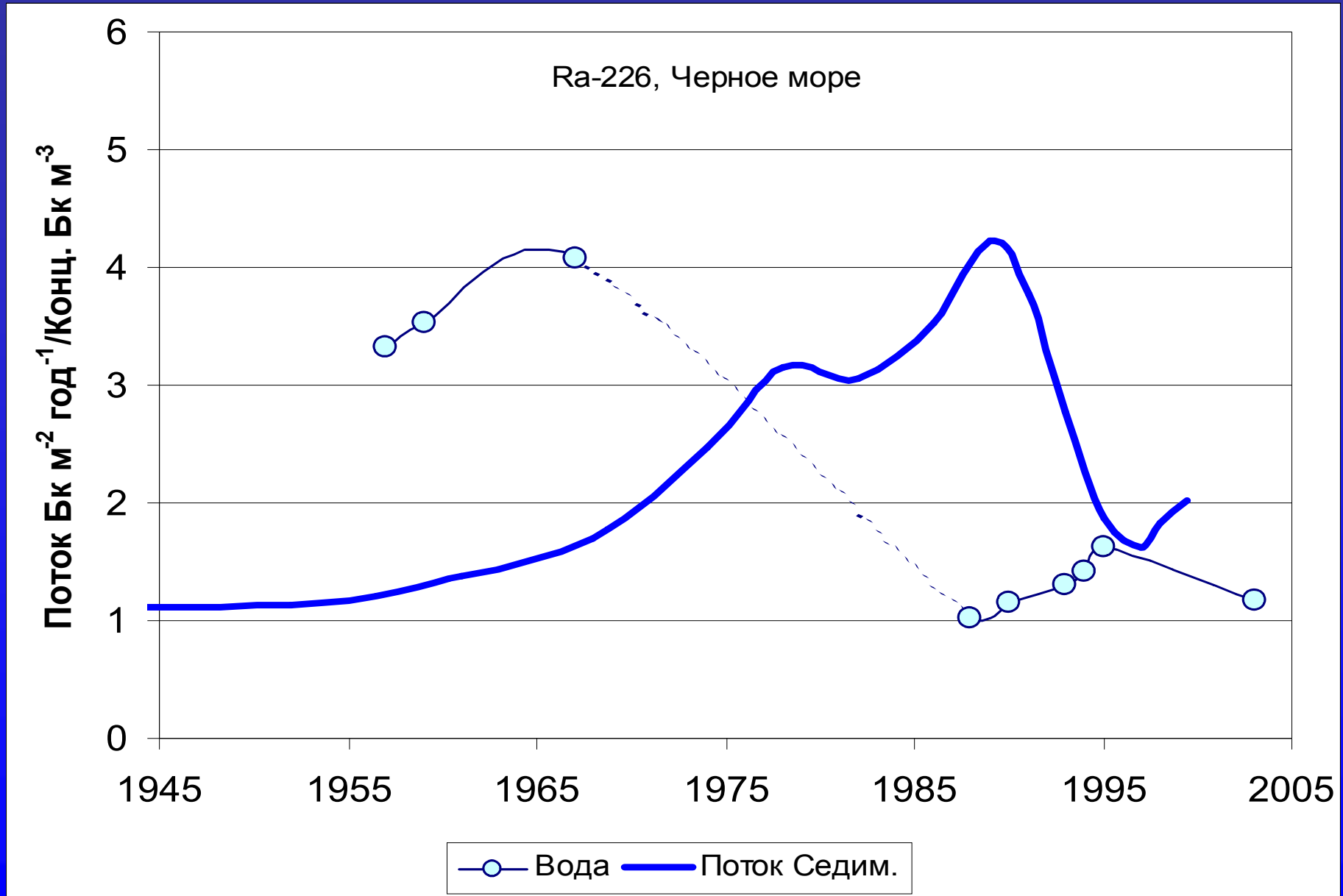
MAR Abyssal Sediment, Black Sea



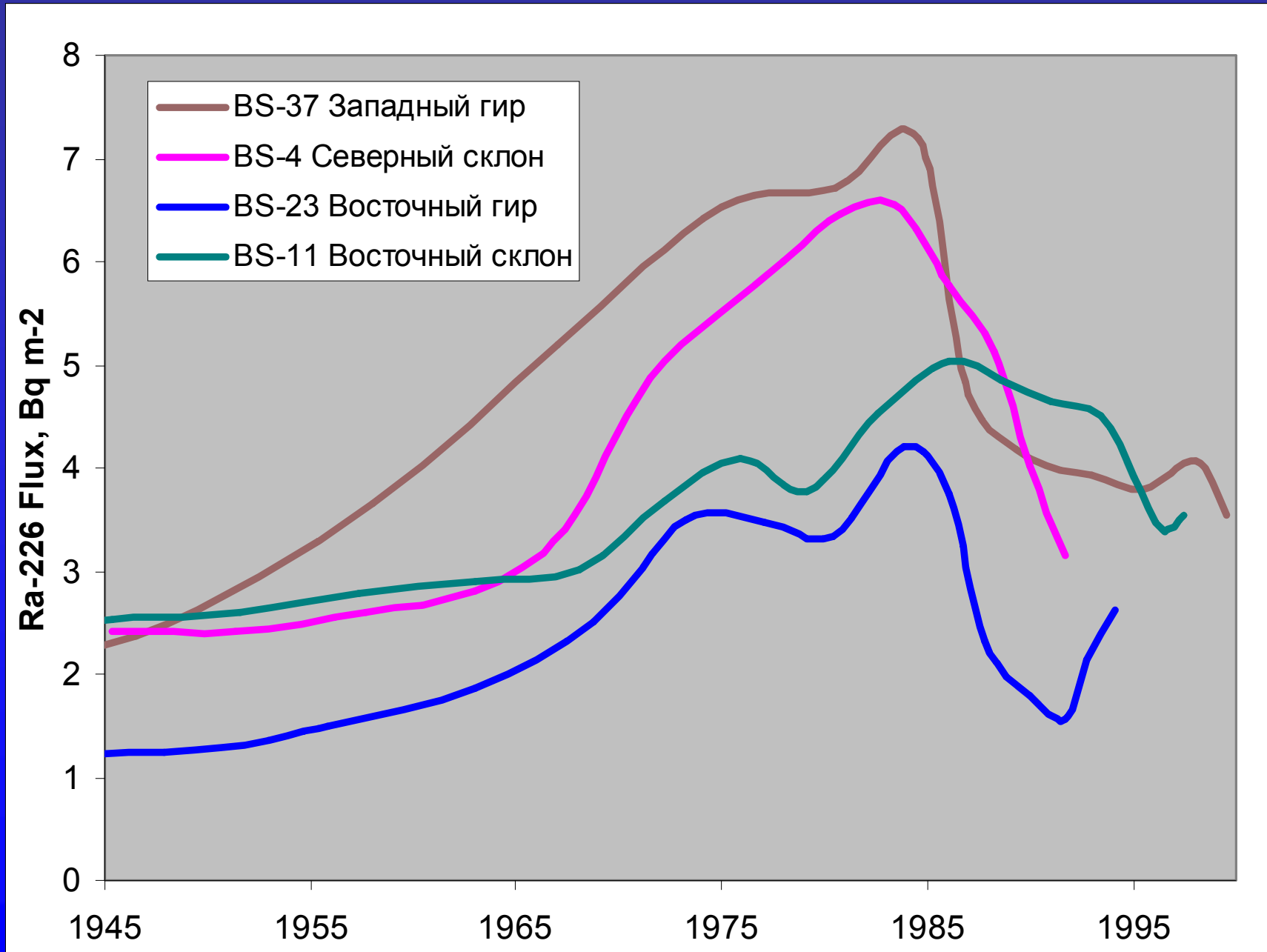
Mass Accumulation Rate, Core 61SU450 NW Slope



Нарушение равновесия радия – геохимический индикатор изменений климата в системе Черного моря?



Поток Ra-226 в глубоководные осадки



Микро-слоистые (ламинированные) донные осадки Черного моря, СЗ континентальный склон



Изменение темпов
осаждения карбонатов
может быть
использовано в
качестве прокси-
показателя для
(палео) реконструкции
регионального
климата за последние
2000 лет.

Для калибровки
используются данные
радиоизотопного
датирования
современных осадков
(100-150 лет)

Laptev G., 2006

Hey B., 1991

Teodoru C., 1995 -
98

BLS98-4

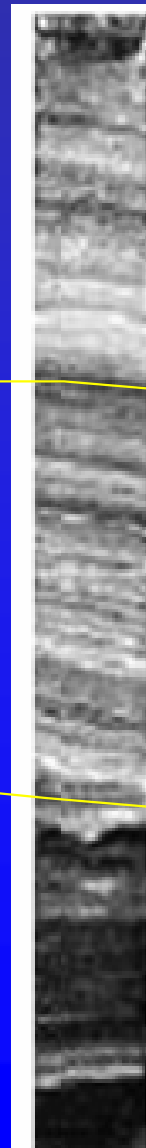
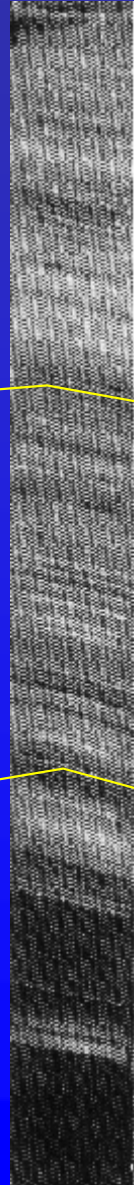
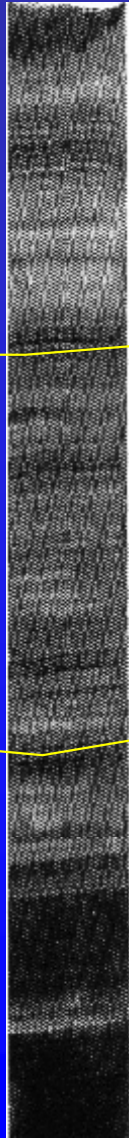
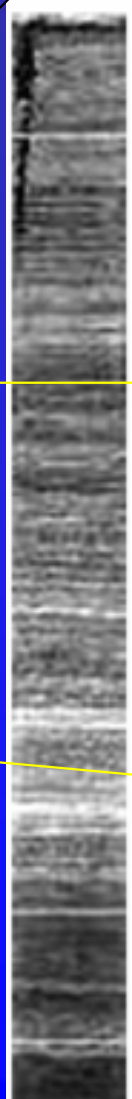
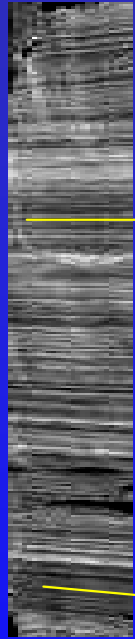
BS-55

BLS98-3

BS-21

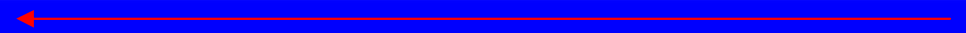
BLS98-6

61SU-450

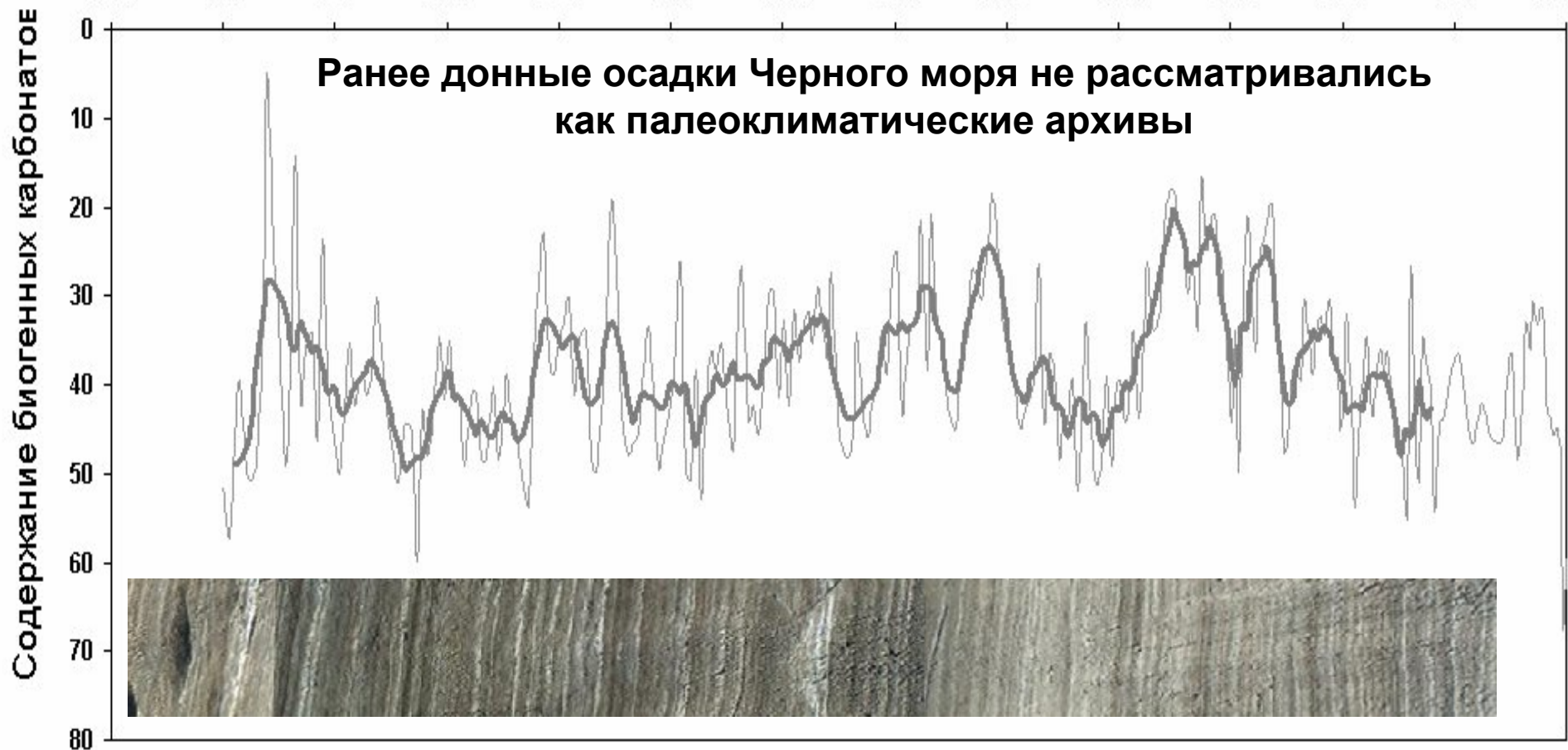
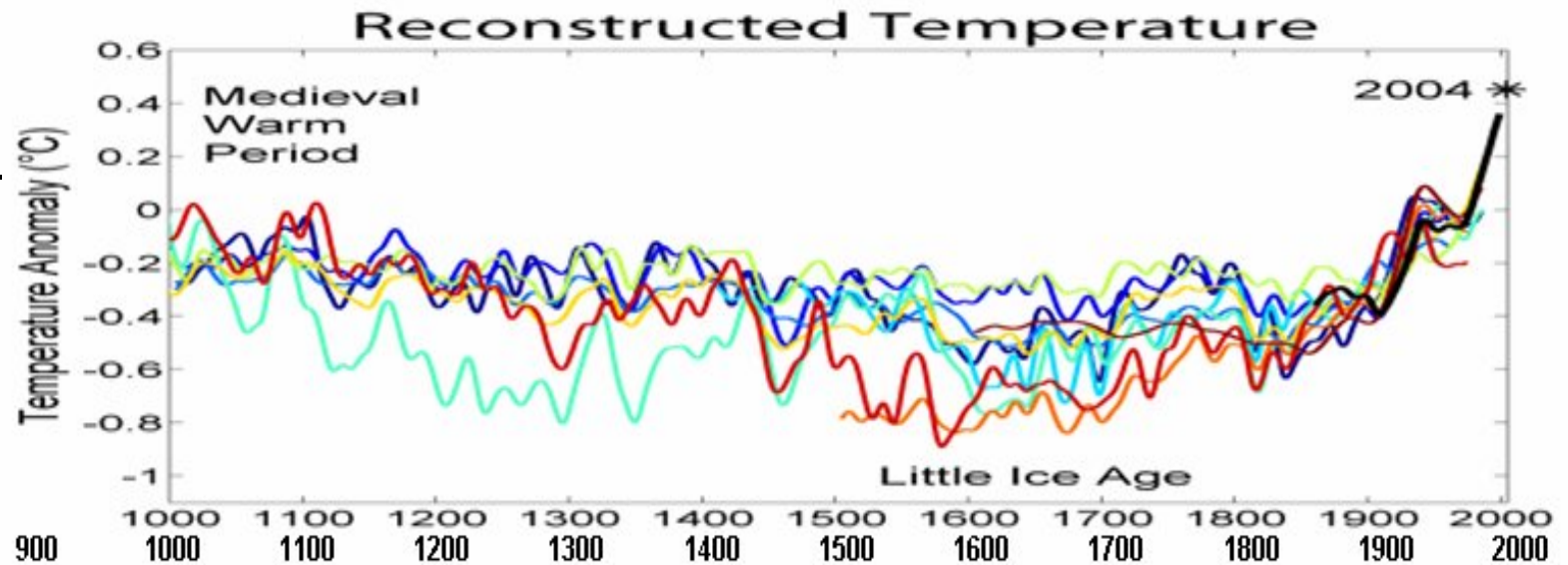


Final *EH* invasion – 1635 \pm 60 BP

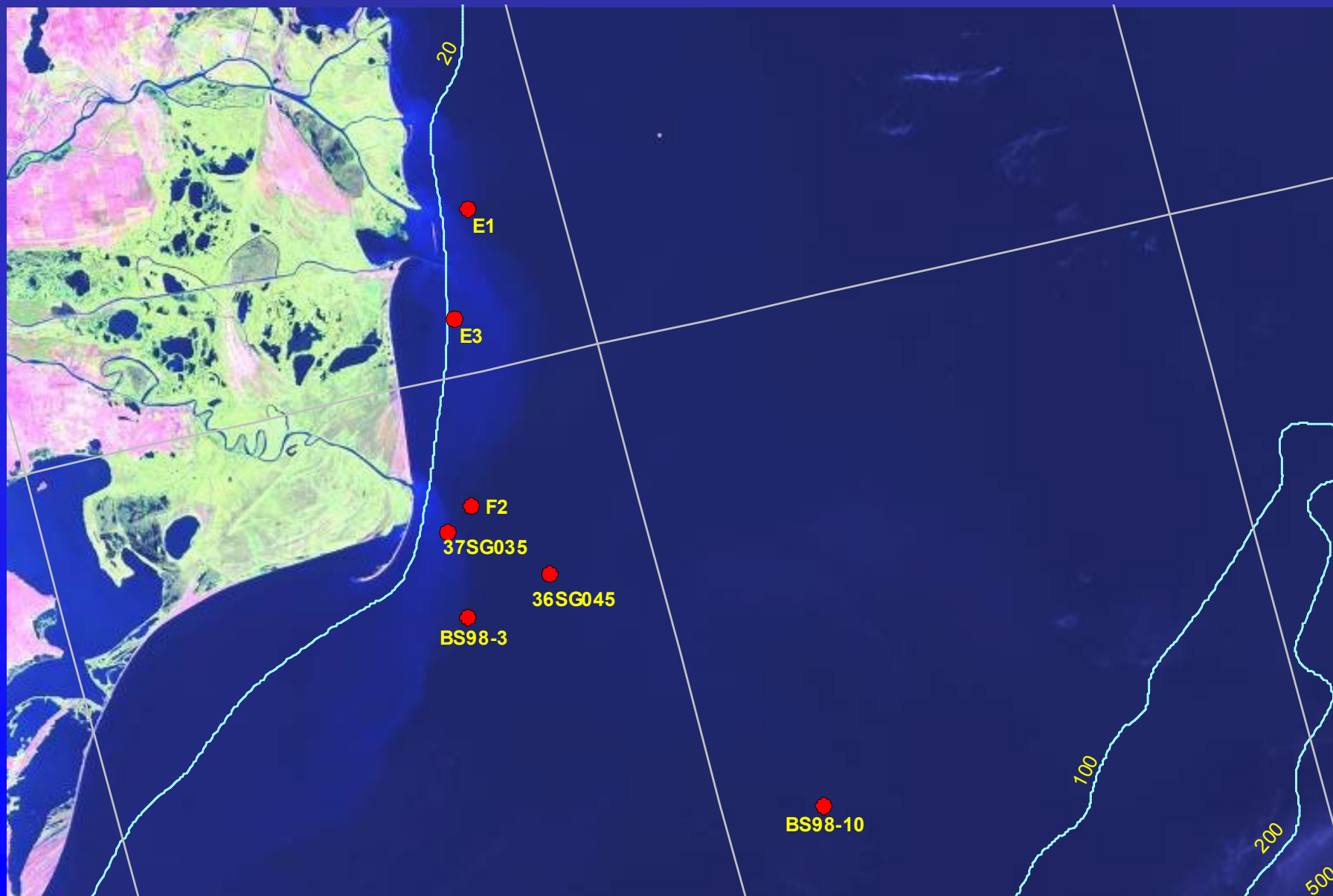
First *EH* invasion – 2720 \pm 160 BP



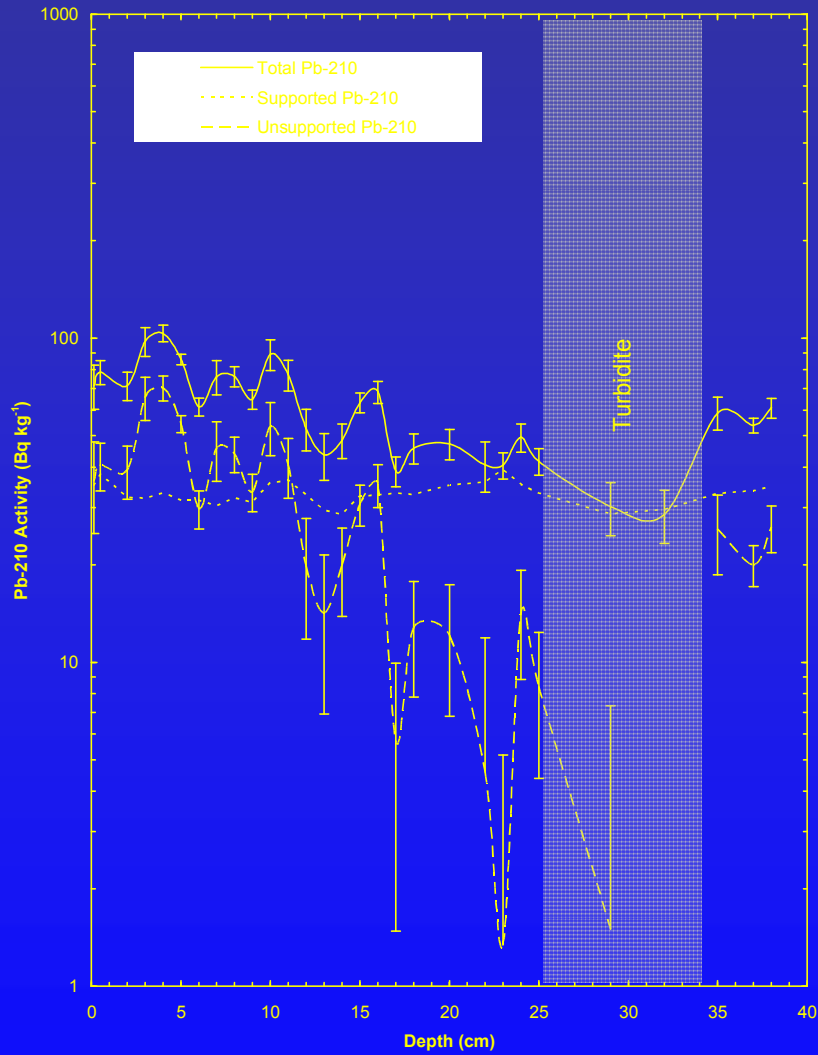
Примеры палеоклиматических реконструкций температуры



Продельта Дуная



BLACK SEA CORE BS-E3
Pb-210 Activity versus Depth



BLACK SEA CORE BS-E3
Cs-137 & Am-241 Activity versus Depth

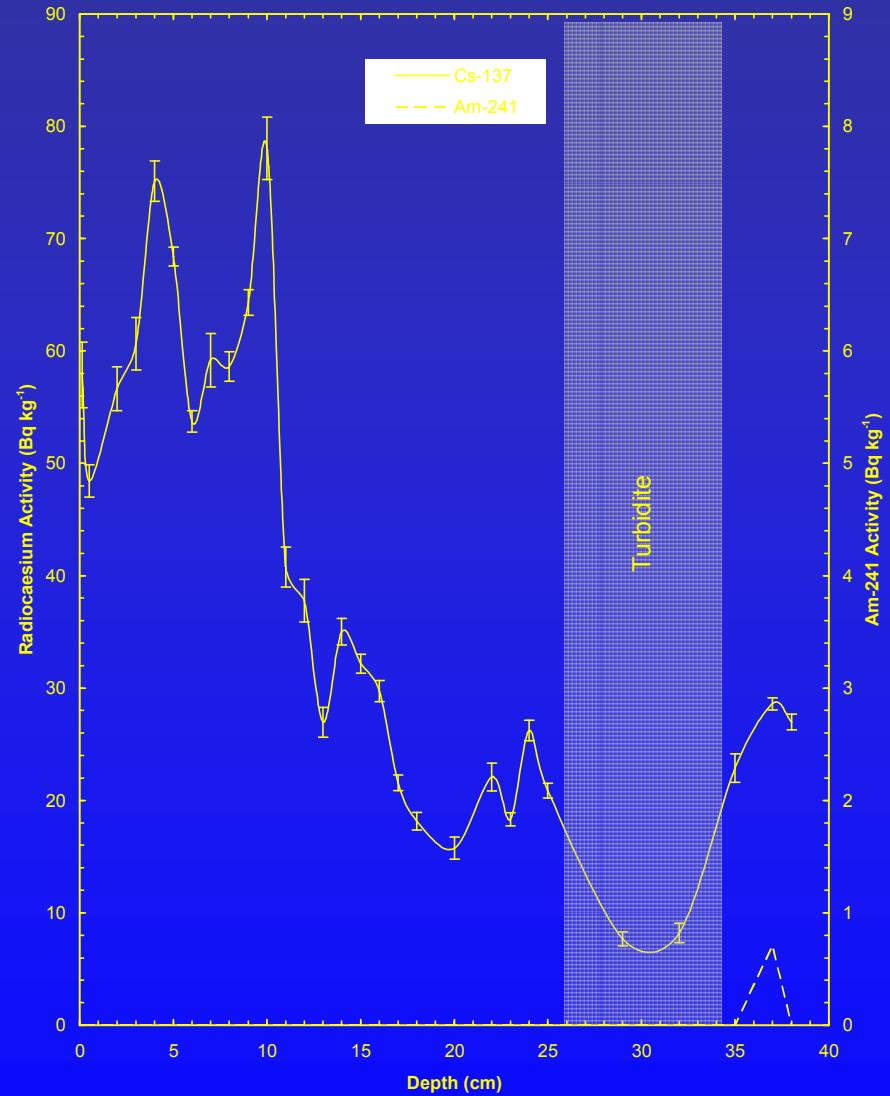


Fig. 1 – Sediment DBD and Radionuclide concentrations showing total, supported and unsupported ²¹⁰Pb, ¹³⁷Cs & ²⁴¹Am, Core BS-E3

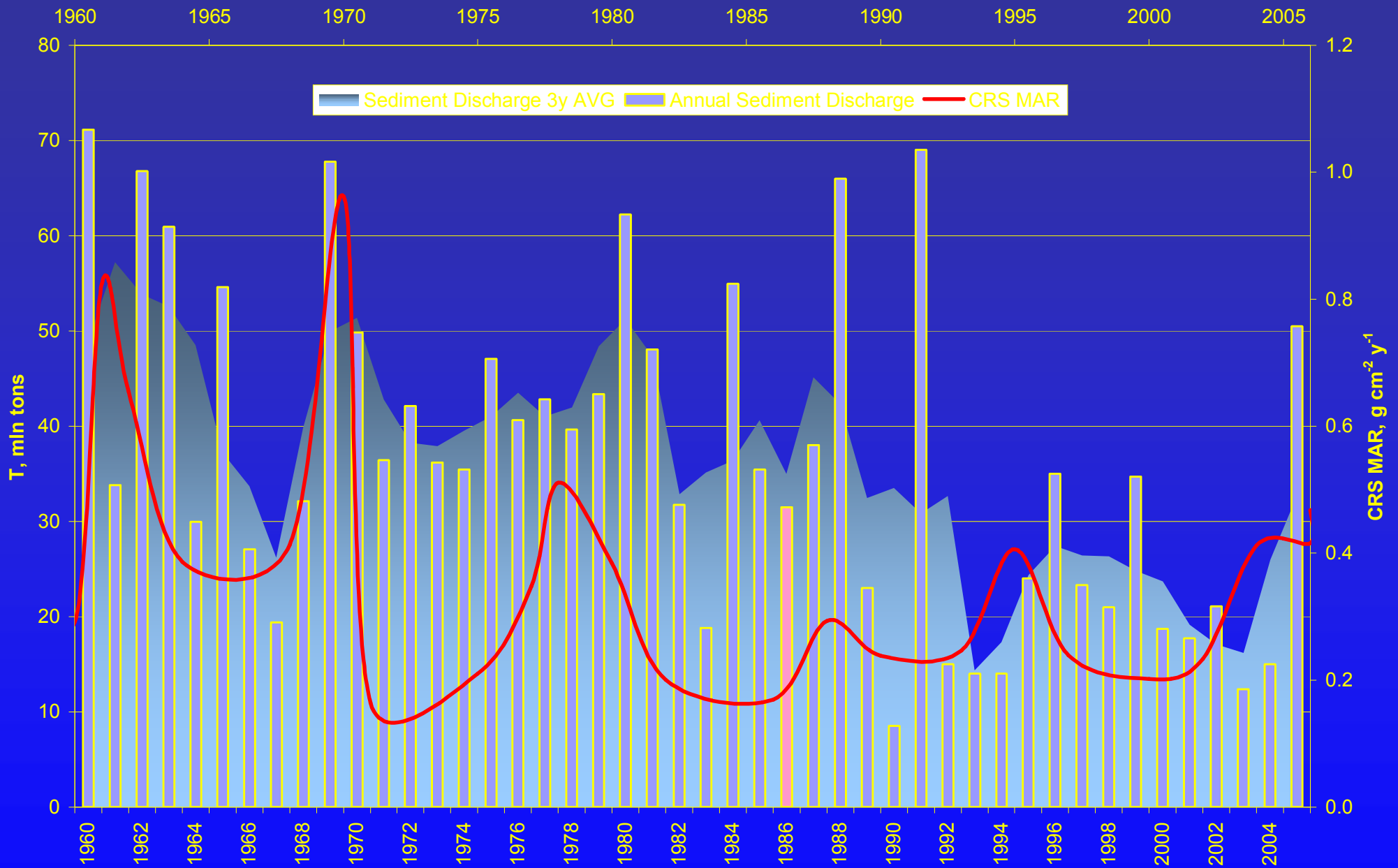


Fig. 1 – Danube sediment discharge (annual amount in mln.tons and 3year moving average) and CRS MAR for period of 1960-2005

Зависимость MAR-210Pb для Черного моря

